

中国化学会 1978 年年会  
論文摘要集

(内部资料 注意保存)

1978.9  
上海

題 目 算 數

反丁烯二酸羟基合铬多核络合物(玻璃纤维与聚乙烯的偶联剂)	1 — 4
同系线性规律的分子化学基础	5 — 8
丁迁移反应的对称性	9 — 11
键参数函数及其应用而多维空间化学处理	11 — 14
固态络盐的力能特性	14 — 20
乙二胺四乙酸钛的晶体结构	20 — 24
丁烯在多元共晶石催化剂上氧化脱氢——压低含氧化合物生成率的研究	25 — 26
乙快法醋酸乙烯催化剂载体表面化学结构初步探索	27 — 31
丁烯氧化脱氢制丁二烯用 $\text{Sn}-\text{P}-\text{Li}$ 催化剂的研究	31 — 34
硼化镍氢电极催化剂研究	34 — 38
复合成铁催化剂活性中心模型及催化反应动力学	38 — 42
多元铜酸盐催化剂的丁烯—乙氧化脱氢动力学的初步观察	42 — 46
氧化物催化剂选择的基本规律性	46 — 50
三异丁基铝—磷酸—路易士碱催化剂体系的环氧氯丙烷—环氧乙烷—环氧丙烷三元共聚合	50 — 55
多孔电极极化理论	55 — 60

混合电介质溶液活度依赖的研究  $\text{HCl}-\text{NiCl}_2-\text{H}_2\text{O}$  50 — 65  
三元体

电介质在混合溶液中的活度依赖及溶剂化热的研究 65 — 68  
(I) 盐—甲酇—非电介质体系

熔盐电介四氯化钛的电疗机理 68 — 73

某些有机添加剂在锌电沉积过程中的作用 73 — 76

集团与集团之间作用力 76 — 79

某些强烈不可逆阳极氧化过程动力学 79 — 83

溶液平衡规律性的研究 83 — 87

支持电介质和离子强度对溶液中络合物稳定性的影响 87 — 92

(II) 铜合金硝酸盐磷酸盐和氯酸钠水溶液中  $\text{Cu}(\text{SCN})^+$  离子的稳定性 92 — 95

N—己烷氨基乙酸的离介常数及其与铜(II) 和  
镍(II)生成络合物的稳定性 92 — 95

表面活性剂(溴化十六烷基三甲铵)对镍(镍系) 96 — 101

—二甲酇橙复合物光光度特征的影响 101 — 104

正负离子混合表面活性剂在水溶液中的相互作用 104 — 108

铝合金阴极的电介透层效应 104 — 108

“二甲基甲酰胺、甲酰胺和醋酸中离子溶剂化热  
的研究” 108 — 112

卤化银光敏层老化过程中被化中心平衡电势的变  
化及其理论意义 112 — 115

镁系元素化合物在异戊二烯顺-1,4定向聚合中的催化活性 115—118

丙烯聚合新催化剂的结构特征

119—122

关于钠硫电池极化的研究

123—126

乙烯直接氧化剂环氧乙烷(氧化法)银催化剂的研究 127—129

# 反丁烯二酸羟基铬多核络合物

[玻璃纤维与聚乙烯的偶联剂]

戴安邦 罗勤慧

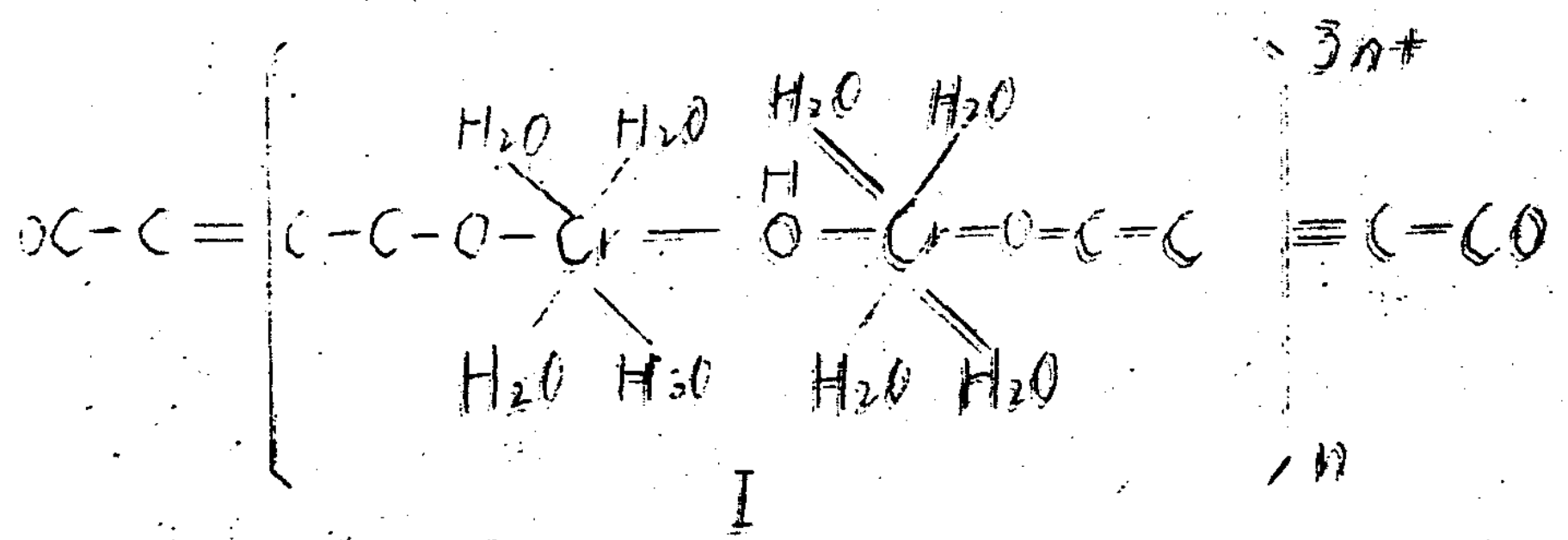
(南京大学化学系)

由于对新材料的需求，反丁烯二酸与铬的多核络合物(简称富马酸铬)，逐渐引起人们的重视，富马酸与铬在溶液中，因反应条件不同，可得不同组成的多核络合物，因而有不同的用途。南京大学化学系和江苏电仪器材厂等单位协作制成的富马酸铬多核络合物偶联剂，在电缆工业上，用于粘结聚丙烯与聚乙烯的复合带，性能良好。本文是研究在较高酸度下合成的另一种富马酸铬络合物，作为聚乙烯—玻璃纤维的偶联剂。此络合物用分步加热半和的方法合成，它的吸收光谱在415nm，及575nm有吸收峰，其壳分子消光系数与文献报导相仿。将制得的富马酸铬络合物处理玻璃纤维布，用作聚乙烯与玻璃纤维的偶联剂，制成层压板其增强性能对无碱玻璃纤维与中碱玻璃纤维，均有明显提高。(比未经铬络合物处理的提高30%左右) 它同有机偶联剂比较其性能不低于有机偶联剂。经实验证明富马酸铬性质稳定，且制备方法简单，原料易得，价格低廉，作为偶联剂使用，具有一定发展前途。

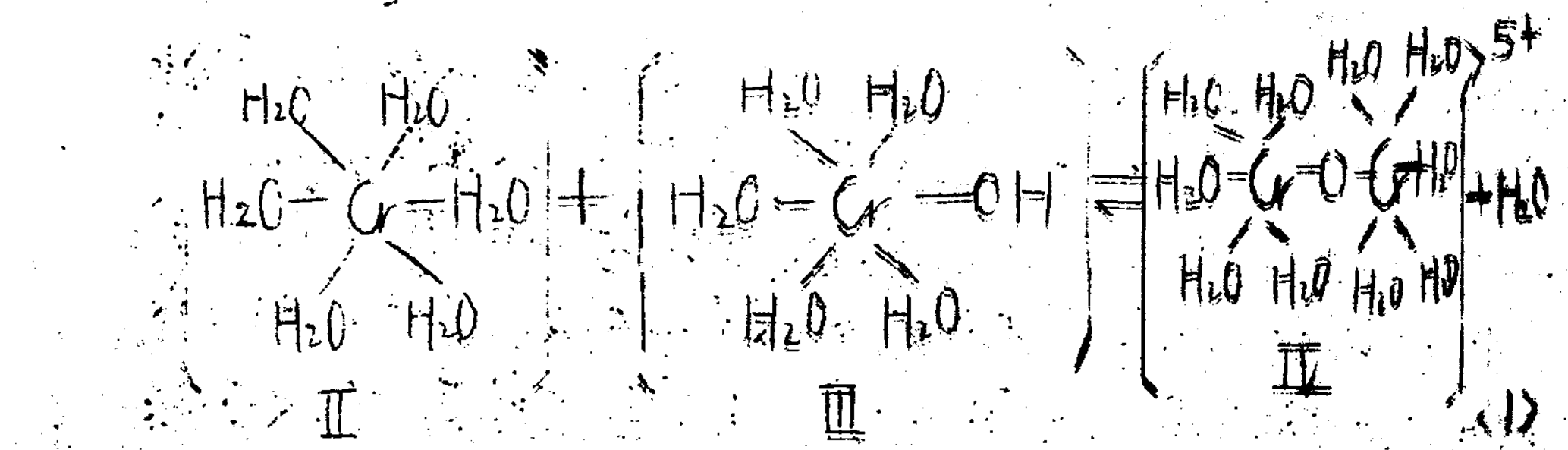
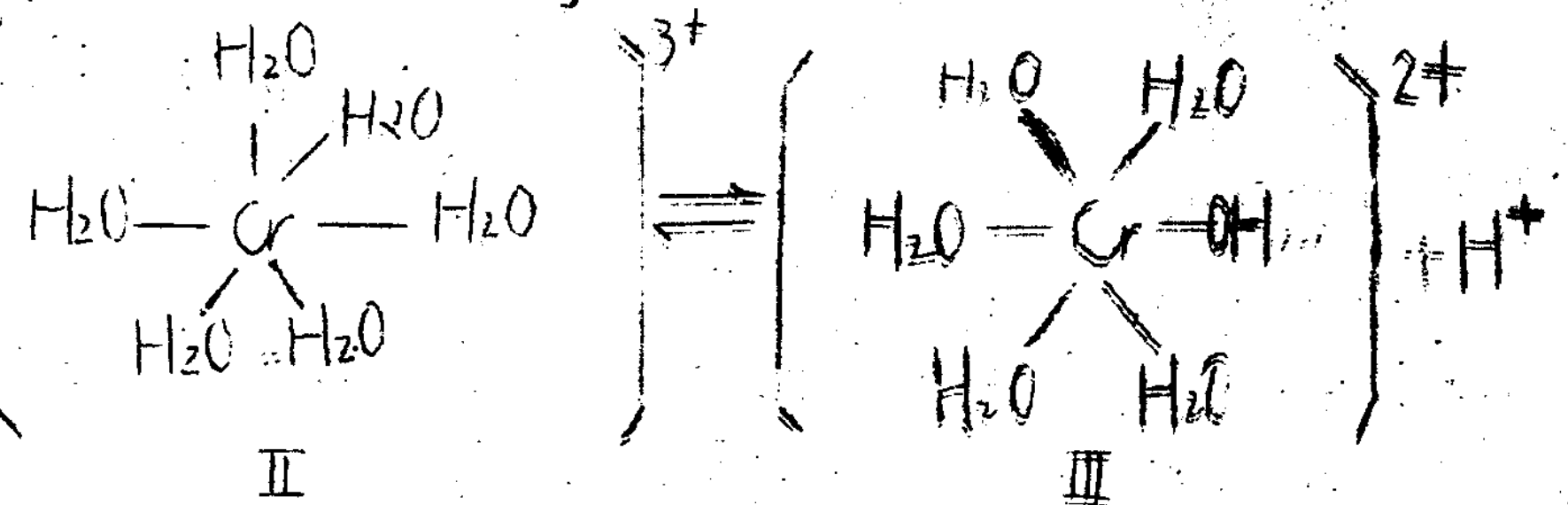
富马酸铬络合物偶联剂，在合成过程中各阶段进行吸收光谱的研究，<sup>发现加入富马酸后，</sup>在575nm的吸收峰，(比未加富马酸按同样条件处理的)其壳分子消光系数明显提高，最重要的是在365nm处出现新的小峰，起初不明显随着加热时间增长，其壳分子消光明显增加，此峰的出现文献没有从本质上加以说明经我们证实此峰为铬与富马酸的反应，产生富马酸羟基铬多核络

合物的现象。若以加入  $\text{NH}_4\text{HCO}_3$  浓度和  $\text{Cr}^{3+}$  浓度之比 ( $\text{NH}_4\text{HCO}_3/\text{Cr}^{3+}$ ) 为横坐标，以 365nm 的光吸收消光为纵坐标，在一定范围内得一直线，这说明此样的易脱水与高氯酸的配位有关。

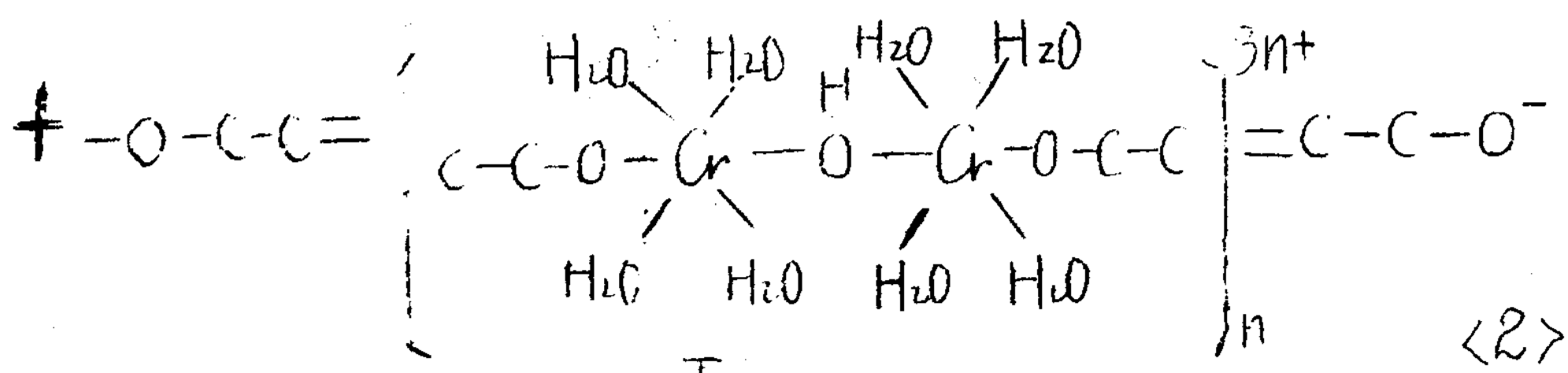
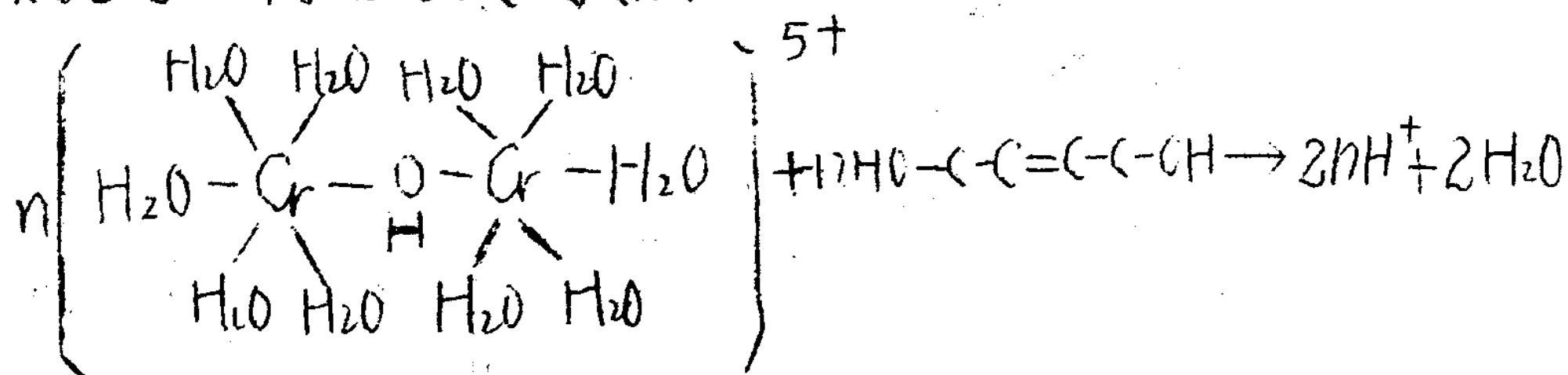
对合成络合物各阶段的溶液，用  $\text{NaOH}$  溶液进行电导滴定及  $\text{pH}$  滴定，所得结果是一致的，分析电导滴定曲线与  $\text{pH}$  滴定曲线，我们认为络合物具有下列结构：



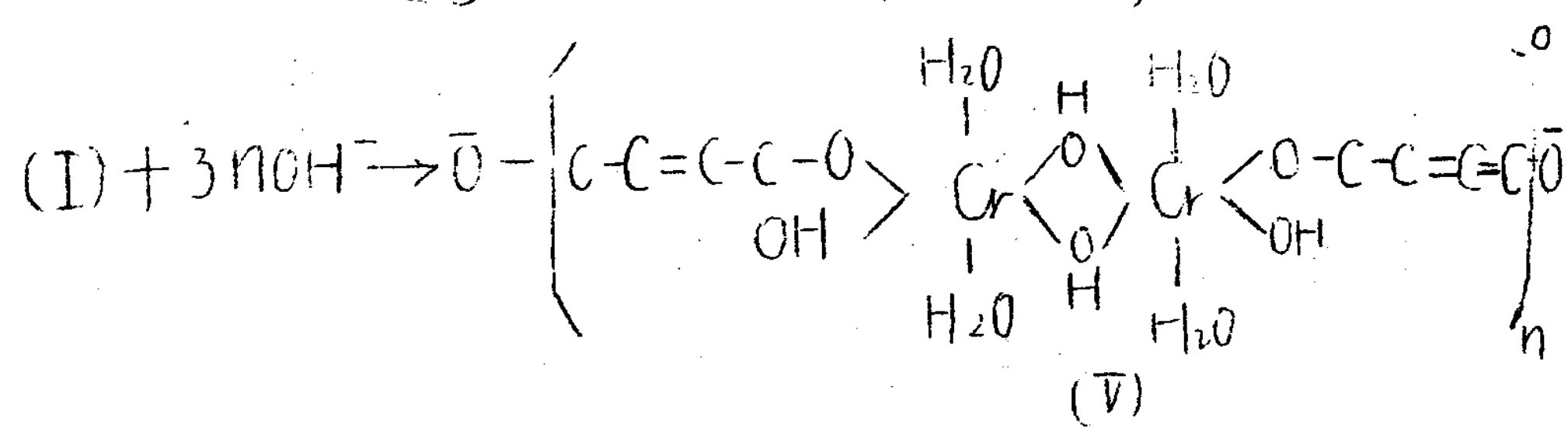
它是由  $\text{Cr}(\text{NC}_3)_3$  和反丁烯二酸（简式  $\text{HO}-\text{C}=\text{C}\equiv\text{C}=\text{CH}_2$  代表）经反复中和而制得。先是按反应①生成双核络合物，  
 $[(\text{H}_2\text{O})_5\text{Cr}(\text{OH})\text{G}(\text{H}_2\text{O})_5]\text{Cr}^{3+}$



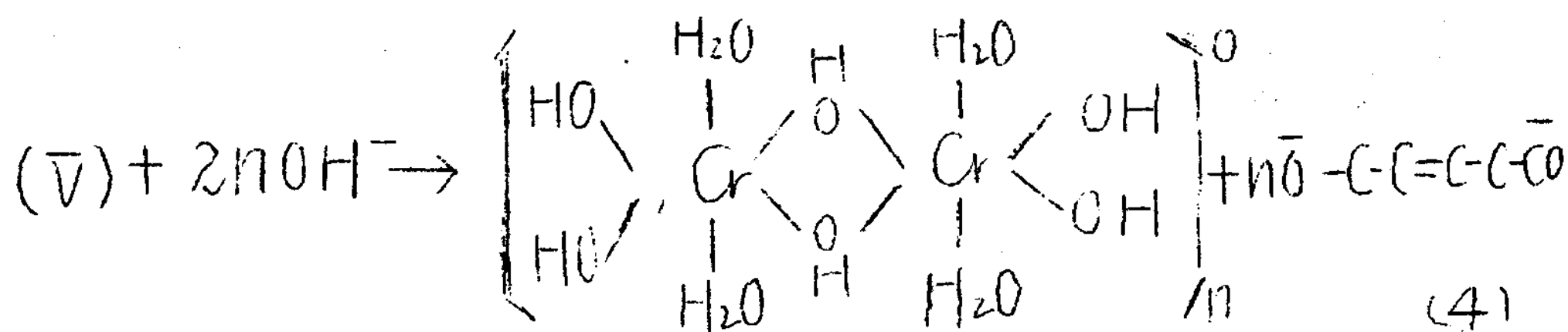
然后再经中和加热发生反应：



在用  $\text{NaOH}$  溶液滴定富马酸羟基合铬(I) 就产生以下反应：



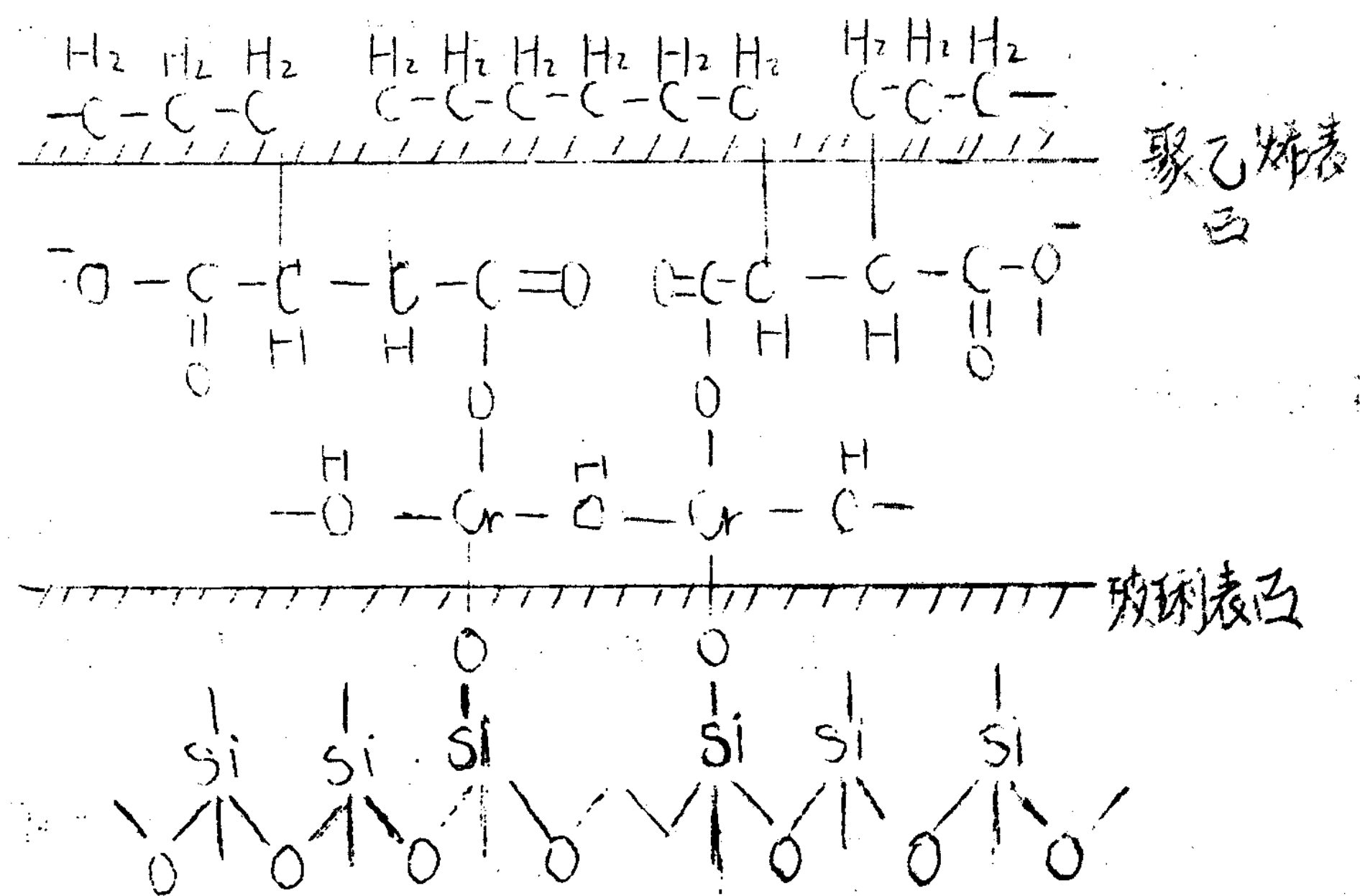
继续加入  $\text{NaOH}$  滴定时发生以下反应：



从电导滴定曲线的 pH 滴定曲线得出的结果能与以上推断出的反应相符合。

在玻璃纤维与聚乙烯的粘结过程中富马酸羟基合铬进一步脱水聚合，并与玻璃纤维中的硅酸盐结合成牢固的铬—氧—硅键。在热压时，由于聚乙烯的长链中某些与富马酸

双键附近的单键，乃因热振动而大为减弱，以致断裂而与酸根中的双键连接起来，如图所示：



在反丁烯二酸羟基合铬中，一方面有反丁烯二酸的双键，与聚乙烯形成碳—碳共链，另一方面有铬与硅之间的氧链而将硅与聚乙烯之间以共价链牢固而紧密地结合起来。故反丁烯二酸羟基合铬是一种对玻璃纤维有较强粘结能力的偶联剂。

文献 在下页

# 同系线性规律的量子化学基础

## 徐光宪

(北京大学化学系)

同系物结构与性能间的定量关系，几十年来一直未找到一种简单、普遍而准确的规律。最近蒋明谦提出了一个具有普遍性、精确性和专一性的简单规律，即同系线性规律。这个规律表明：同系物中各分子轨道的能量，各能级的差量以及依存于它们的物理化学性能，都是同系因子( $\frac{1}{n}$ )<sup>2</sup>的线性函数。本文的目的是企图找到同系线性规律的量子化学基础。

首先考虑同系物  $X-(CH=CH)_n-Y$ ，当  $n$  越大时，它们的性质就越越来越接近多烯烃。所以先讨论多烯烃的能级，是了解同系能级的基础。Hückel MO 法给出多烯烃  $H-(CH=CH)_n-H$  的分子轨道能级为

$$\chi_k = \chi(n, j) = 2 \cos \frac{j\pi}{2n+1} = 2 \cos \frac{(n-k+1)\pi}{2n+1} \quad (1)$$

式中能级序数  $k$  与  $j$  的关系为  $j = n - k + 1$ ，即  $k=1$  为最高成键轨道，而  $k=n$  为最低成键轨道。

用(1)式来解释多烯烃的电子光谱有一定偏差，因而必须对 HMO 法作一些改进。HMO 法假定相邻碳原子间的共轭积分  $\beta$  为常数，可实上共轭多烯烃中长键( $C-C$ )和短键( $C=C$ )是交替出现的，它们的  $\beta$  值也应相等。我们假定长短键共轭积分的比值。

$$\gamma = \beta_2 / \beta_1 = \cos \left( \frac{\pi}{2n+1} \right) \quad (2)$$

并用分子轨道图形理论，处理了只有交替长短键的多烯烃的本

正直问题，得到：

$$x_{12} = \pm \sqrt{1 + n^2 + 2n \cos \frac{2h\pi}{2n+1}} \quad (3)$$

其中  $h$  为接近于 1 的数，它满足下列久期方程：

$$\tan(jh\pi) = \left(\frac{n-1}{n+1}\right) \tan(jh\frac{\pi}{2n+1}) \quad (4)$$

作为一近似，可取  $h=1$ 。于是(3)式简化为

$$x_{12} = \pm \sqrt{1 + n^2 + 2n \cos \frac{2j\pi}{2n+1}} = \pm \sqrt{1 + n^2 - 2n \cos \frac{(2k-1)\pi}{2n+1}} \quad (5)$$

对于最简成键轨道  $k=1$  利用(2)式，可将(3)式简化为

$$x_{12} = A \sin \frac{\pi}{2n+1} \quad (5) \quad (6)$$

对其他能级，只要在  $n$  的取值上作些调整(3)式就可简化为

$$x_{12} = \frac{2h-1}{k} \sin \frac{k\pi}{2n+1} \quad (7)$$

由(6)和(7)式计算的多烯烃的分子轨道能级  $x_R$  比 HMO 法的  $x_R$  降低一些。当  $n$  增大时  $n \rightarrow 1$ ，而  $x_R \rightarrow x_R$ 。大量电子光谱的数据证明，用  $x_R$  表示的能级比 HMO 法的  $x_R$  更精确。例如多烯烃的第一吸收峰的波数  $\tilde{\nu}$  可表示为：

$$(1) \text{本文: } 10^{-4} \tilde{\nu}_1 = 5.419 \sin \frac{\pi}{2n+1} + 1.432, \quad \gamma = 0.9997$$

$$(2) \text{HMO: } 10^{-4} \tilde{\nu}_1 = 4.607 \left( 2 \cos \frac{n\pi}{2n+1} \right) + 1.634, \quad \gamma = 0.9978$$

$$(3) \text{原文: } 10^{-4} \tilde{\nu}_1 = -6.289 \left( \frac{1}{n} \right)^{1/2} + 7.725, \quad \gamma = -0.9996$$

$(1-\gamma^2)$  是衡量线性相关精确度的指标，所以本文改进的 HMO 法要比原来的 HMO 法精确七倍，其系数也略有提高。

对于奇数原子的共轭多烯烃系  $[CH_2 - (CH=CH)_n - H]$  及  
( $j=1$  为阳离子,  $j=0$  为自由基,  $j=-1$  为阴离子) 短键的  
区分不明显, (例如丙烯阳离子中已知两个 C=C 距离, 因为  
 $n=1$ , 可用 HMO 的能级公式:

$$\chi_k = \alpha(n, j=1) + \frac{j\pi}{2n+2} = 2 \cos \frac{j\pi}{2n+2} \quad (8)$$

在(8)式中令

$$2n+2 = 2N+1, \quad N=n+t = n+\frac{1}{2} \quad (9)$$

$N$  可作为有效同系序数,  $t$  为端基效应。在奇数共轭烃中,  
多了一个碳原子, 相当于  $t=\frac{1}{2}$  推而广之, 我们假定同系物的  
分子轨道能级  $E_k$  可用“简单能级因子”  $\sin \frac{k\pi}{2N+1}$  的线性  
函数来表示:

$$E_k = \alpha + b \sin \frac{k\pi}{2N+1}, \quad N=n+t \quad (10)$$

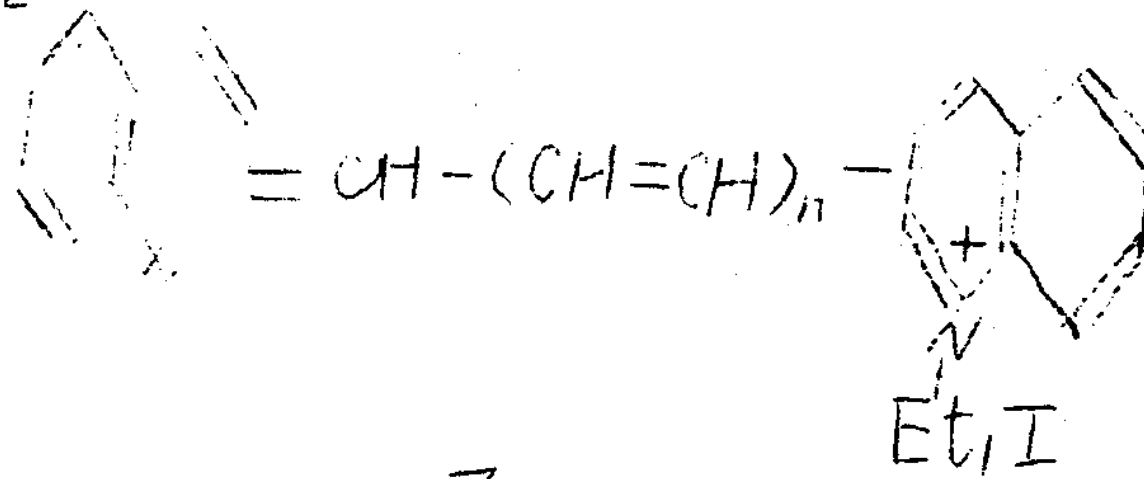
而与同系物的能级差及有关的性质  $P$  则可表示为

$$P = a' + b' \sin \frac{k\pi}{2N+1} \quad (11)$$

因极大的性质是由前线或第二前线分子轨道的能级决定的, 所以

$$P = a' + b' A \sin \frac{\pi}{2n+1} \quad (12)$$

例如



$= CH_2 - (CH=CH)_n -$  的分子轨道可表示为

$$x_1 = 0.8988 \sin \frac{\pi}{2n+1} - 0.0148, \quad N=n+t=n+3 \quad r=0.9795$$

$$H - \left( \text{C}_6 \right)_n - H: \quad x_1 = 0.6239 A \sin \frac{\pi}{2n+1} + 0.3301, \quad r=0.997$$

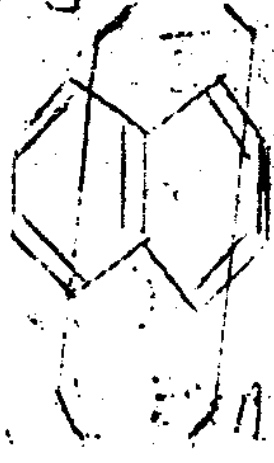
$$x_2 = 1.0466 \sin \frac{2\pi}{2n+1} + 0.1693 \quad r=0.997$$

其余文献给出的 HMO 的数据，用同系能级因子  $\sin \frac{\pi}{2N+1}$  的线性函数来表示，相关系数大于优和良者占总数的 99%。

在物理化学性质方面，例如多烯醛  $\text{CH}_3 - (\text{CH}=\text{CH})_n \text{CHO}$  的电子光谱的吸收率：

$$\epsilon = 2.2 \times 10^{-4} + 5.263 \sin \frac{\pi}{2N+1} + 1435, N=n+t=n+1 \\ R=0.9998$$

由于  $\text{C=O}$  键也在共轭链上，所以端基当号  $t=1$  又如



的极谱中波电位

$$\epsilon_{\text{red}} = 4.7772 \sin \frac{\pi}{2N+1} - 0.790, N=n+t=n+2 \\ R=0.9995$$

在摘要中我们将不再多举例子来说明同系物的物理化学性质与同系能级因子之间的关系。总的来说，它的线性准确性，专一性和适用范围同系因子一样好，这可以从  $(\frac{1}{2})^{1/n} \sin \frac{\pi}{2n+1}$  之间存在非常好的线性关系看出：

$(\frac{1}{2})^{1/n} = (\frac{1}{2})^{1/n} = 1.0002 - 0.8665 \sin \frac{\pi}{2n+1}, R=0.9999$

这样我们就把同系线性规律与改进的 Hückel 分子轨道理论论联系了起来，为前清找到了化学基础

## The Quantum Chemical Basis of the Rule of Homologous Linearity

Hsu Kuang-Hsien

# 丁迁移反应的对称性

赵学庄

(南开大学化学系)

分子轨道对称守恒原理<sup>[1]</sup>的提出在理论化学界引起很大影响。我国化学家唐敖庆教授及其领导下的吉林大学分子化学组曾对此问题作了精辟的论述，并作了极其重要的发展。<sup>[2-4]</sup>我曾利用Neethen定理，从对称性角度对此问题作了探讨<sup>[5,6]</sup>。在这些探讨中对丁迁移反应和点群偏离作为一种转动来处理（或称分子碎片局部域场处理），但丁迁移反应还有其更深刻的对称性实质。本文提出了反应反演变换和反应及演联合点群变换的对称性通过比较满意的解决了丁迁移反应的对称性问题。

所谓反应及演变换系指反应的相互作用体系在构型空间中相对于通过反应坐标中点与反应坐标正交的超平面上的反演变换。一般说来，化学反应体系不具有反应及演变换的对称性，但对于丁迁移反应来说具有反应反演联合点群变换的对称性。这和基本粒子的某些体系中具有的所谓CP联合反演对称性是相似的。

相互作用

所谓反应及演联合点群变换对称性，是指对反应体系施以反应及演变换后再施以某种点群变换（宇称变换、饼群变换或轴群变换）后，反应体系又可复元的性质。

除了丁迁移反应外，自由基取代反应亦具有反应及演联合宇称变换(RP变换)的对称性。通过H<sub>3</sub>体系分析，这类反应RP变换的本征值仍是守恒的；因之这类反应是RP对称守恒所允许的。其它自由基反应RP对称性近似存在亦可作同样分析。

[1, J]型丁迁移反应有对旋(即同凸)迁移与同旋(即异凸)迁移两种机理。前者具有反应反演联合又称变换(RM变换)的对称性，其本征值  $P_u$  守恒，后者具有反应反演联合二重轴称变换(RC变换)的对称性，其本征值  $P_d$  守恒。通过对[1, 3]丁迁移反应的分析，表明在这类反应过程中，除了HOMO以外的BMO无论反应依对旋或同旋机理进行时相应的本征值  $P_u$  或  $P_d$  均可守恒，但由于HOMO对  $P_u$  或  $P_d$  守恒的要求确定了[1, J]型丁迁移反应的机理，得到相应的选择规则与分子轨道对称守恒原理所得结果相符，利用上述讨论也可得到对光化学丁迁移反应与热化学丁迁移反应之间相异而互补的选择规则。

[2, J]型丁迁移反应机理可以分为 同旋—同旋、对旋—对旋与同旋—对旋几种不同的机理，对于同旋—同旋迁移反应体系具有RC对称性，本征值  $P_d$  守恒，对旋—一对旋迁移反应体系具有RM对称性，本征值  $P_u$  守恒，而同旋—一对旋(或对旋—同旋)迁移时不存在相应的守恒号，由此得到相应的选择规则与分子轨道对称守恒原理的结果相仿，对立[3, 3]型丁迁移反应作了较详细的分析，表明此反应依同旋—同旋或对旋—一对旋迁移时，相应本征值均可守恒，故这两种机理都是允许的。

由于提出了反应反演变换及其与点称变换联合的对称性，比较满意的揭示了丁迁移反应的对称性实质，导出了分子轨道对称守恒原理一致的选择规则。

\*本文在吉林大学唐教庆教授指导下写成。

## 参 考 资 料

- [1] R B Woodward & R Hoffmann 《The Conservation of Orbital Symmetry》 1970
- [2] 唐敖庆: 中国科学 2 (1975) 213
- [3] 吉林大学分子化学组: 化学通报 4 (1977) 40
- [4] 吉大分子化学组: 吉大学报(自然科学版) 3 (1977) 49
- [5] 赵学庄: 科学通报 (待发表)
- [6] 赵学庄 南开大学学报(自然科学版) 1 (1978) 1

## 键参数函数及其应用 Ⅱ 多维空间化学信息处理

陈念贻 施关生 谢雪鸣  
江乃友 郑茂如 李灰芝

(上海冶金所)

在以前的研究中<sup>(1)(2)</sup>, 我们采用键参数图方法研究了与化学键有关的现象的规律性, 有一定效果。但这个方法有两方面的缺点: 一是键参数的选择, 其物理意义有时不够明确, 二是作图方法只能考虑两个参数(二维图), 实际上起作用的因素不能不只两个。

近年来, 我们沿着两个方向进行工作, 以弥补缺点, 试已改进, 现将研究结果作一报导。

### (一) 键参数空间的设计:

我们从量子力学近似波函数——STO出发构造新的

键参数体系。

我们首先考查  $d-f$  电子对外层电子屏蔽效应的规律。在 SIETER、徐光宪工作基础上，提出改进的 STO 原子轨道式

$$\psi = r^{n^*-1} \exp\left[-\frac{2r}{n^*}\left(1 + \frac{\beta_{SP}}{z} + \frac{\beta_{dt}}{z}\right)\right]$$

设有化学键  $A-B$ ，其分子轨道  $\psi_{AB}$  可表示为：

$$\psi_{AB} = a\psi_A + b\psi_B$$

$a, b$  为未定系数，使  $\psi_{AB}$  能量为极小故亦为  $\psi_A, \psi_B$  之泛函。 $\psi_A, \psi_B$  由下列八个参数决定：

$$\left(\frac{z}{n^*}\right)_A, \left(\frac{z}{n^*}\right)_B, n_A^*, n_B^*, \left(\frac{\beta_{SP}}{z}\right)_A, \left(\frac{\beta_{SP}}{z}\right)_B, \left(\frac{\beta_{dt}}{z}\right)_A, \left(\frac{\beta_{dt}}{z}\right)_B$$

作图方法证明： $\frac{\beta_{SP}}{z}$  是  $n^*$ ,  $\frac{z}{n^*}$  的近似函数。故可由下  
列六个参数

$$\left(-\frac{z}{n^*}\right)_A, \left(\frac{z}{n^*}\right)_B, n_A^*, n_B^*, \left(\frac{\beta_{dt}}{z}\right)_A, \left(\frac{\beta_{dt}}{z}\right)_B$$

决定  $\psi_A$  和  $\psi_B$ 。由此可见用上述六个参数构成六维空间，用  
图象识别方法总结材料或化合物的性质的规律，是有可能的。  
我们称上述空间为 STO 参数空间。

另一种键参数体系是从膺势理论出发。膺势理论在  
齐聚态物性和化学性质计算方面已取得很大成效，因此不妨将  
行之有效的模型势 (MCDCL Potentlal) 所包含的参数构成  
多维空间，用图象识别方法总结物性规律，我们称这一空间为  
MP 参数空间。

当然，谈化学键有关的现象种类繁多，主要决定因素也  
不尽相同，我们在研究具体问题时，应该在几套参数体系的  
基础上，适当增加一些特征参数，可能更为有效。

## (二) 图象识别方法和应用例

用 STO 参数空间构成键参数图，借非线性映照技术 (Non-linear mapping technique) 将其映照成二维图象<sup>(4)</sup>，总结和予料喷化学键有关的现象的规律性，已取得良好结果。

用上述方法处理金属键和共价离子键的过渡条件，共价键-离子键的条件等，均得良好的规律性。

我们还用这种方法寻求无机新材料和催化剂方面的规律。

用线性判别函数法在多维键参数空间进行图象识别<sup>(5)</sup>，总结规律、予料未知，也是很有效的。我们用这类方法总结了半导体化合物禁带宽度的规律性。

还可以采用“人机对话”的方式；借电子计算机依照一定程序绘制一大批键参数图，通过一定程序加以选择，修改，以寻求有关规律。用这种方法研究了非晶态合金形成条件<sup>(6)</sup>的规律。结果表明：非晶态二元合金形成判据为

$$\left| \frac{Z}{r_K} \right| \cdot (Sx_p) \cdot \Delta x_p > \frac{1}{2}$$

与实义 MP 参数空间或 STO 参数空间和过去行之有效的  $\frac{Z}{r}$ 、 $x_p$  之间是有联系的。例如，有如下近似式：

$$\frac{Z}{n^*} = \frac{S}{2.3} \frac{1}{\text{cov}} \frac{Z}{z}$$

$$x_p = 0.78 \frac{Z}{n^*} + 0.65 + 1.6 \frac{\frac{Z}{z} dt}{z}$$

因此过去我们所有的键参数图，可视为 MP 参数空间或 STO 参数空间图象的某些剖面，投影或映照。

## 参考文献